УДК 533.95:538.4+533.9.07

ФИЗИКА

## А. Ю. КЕРКИС, В. С. СОКОЛОВ, Н. А. ТРЫНКИНА, В. П. ФОМИЧЕВ

## ЭКСПЕРИМЕНТАЛЬНОЕ ИССЛЕДОВАНИЕ ЭФФЕКТА ТОКОВОГО СЛОЯ

(Представлено академиком А. Н. Тихоновым 2 Х 1972)

В (¹, ²) и ряде других публикаций на основе численного решения уравнений магнитогазодинамики было показано, что при движении в магнитном поле сжимаемой среды, электропроводность которой растет с увеличением температуры, в среде могут возникать самоподдерживающиеся воны повышенной плотности тока, температуры и электропроводности (токовые слои — T-слои), существование которых приводит к увелиличению эффективности магнитогидродинамического взаимодействия. Была выявлена возможность как инициированного (²), так и самопроизвольного (¹) зарождения токовых слоев.

В настоящем сообщении приводятся результаты экспериментального обнаружения и исследования указанного эффекта в режиме его самопро-извольного возникновения в процессе расширения плазмы в дисковом

канале при наличин поперечного магнитного поля.

Эффект токового слоя, наблюдаемый в эксперименте, содержит, по нашему мнению, все основные моменты, предсказываемые теорией: локализация электрического тока в газе, повышение в этой зоне температуры и электропроводности, усиление магнитогазодицамического взаимодействия и, наконец, существование для каждого режима течения критического значения магнитного поля такого, что, если действительная напряженность поля меньше критической, то эффект не возпикает. Кроме того, в эксперименте получен новый, принципиально важный результат, указывающий на устойчивость токового слоя как пространственного образования.

Экспериментальные исследования проводили на установке, подробное описание которой имеется в (3). Источником плазмы служит коаксиальный разрядник, на который разряжается батарея конденсаторов. Круглая труба длиной 350 мм и диаметром 55 мм, являющаяся продолжением разрядника, оканчивается дисковым каналом, образующие стенок которого перпендикулярны к оси трубы. Днаметр дискового канала 250 мм, ширина 20 мм. Магнитное поле, силовые линии которого в пределах дискового канала параллельны оси симметрии установки, создавалось электромагнитом постоянного тока. Внутренний диаметр магнита равен диаметру канала, стенки канала изготовлены из прозрачного оргстекла. Система измерений включала в себя скоростную фотосъемку с помощью СФРЛ, одновременное использование до десяти пьезодатчиков давления, такого же количества магнитных зондов, специально разработанные датчики для прямого измерения плотности тока в плазме (с пространственным разрешением 5 мм), кроме того измерялась напряженность электрического поля.

Эксперимент проводился на воздухе с начальным давлением 0,7—1 мм рт. ст. Скорость движения плазмы в прямой трубе достигала 20 км/сек, скорость расширения в дисковом канале без магнитного поля 10 км/сек. Изменяемым параметром в исследованиях было магнитное поле, напряженность которого менялась от эксперимента к эксперименту в пре-

делах от 0 до 4000 э.

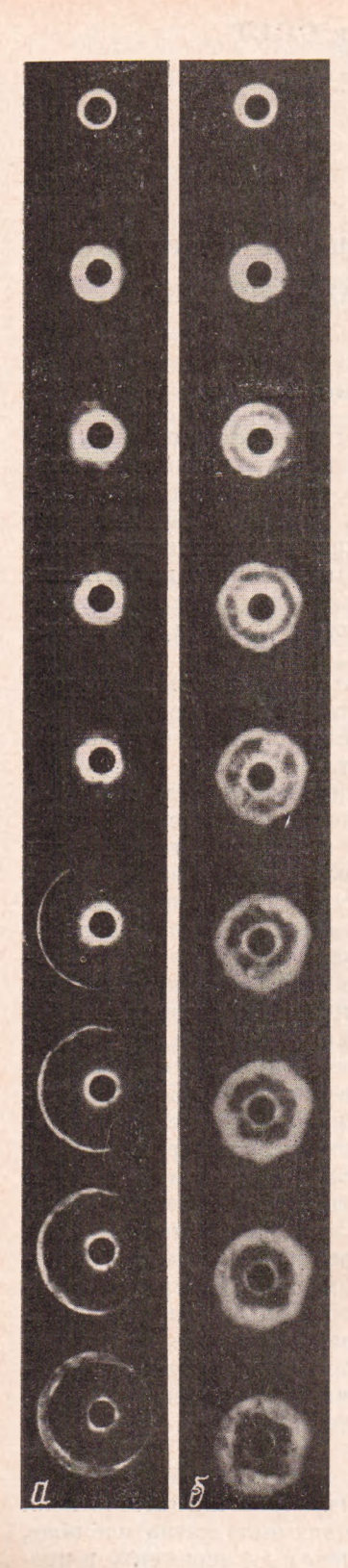


Рис. 1. Покадровая съемка процесса расширении плазмы в дисковом канале; время между кадрами 2,66 µсек. a-H=0 (на последних кадрах видно свечение отраженной от конца канала ударной волны), 6-H=3000 э. Во избежание засветки пленки излучением из разрядника центральная часть дискового канала сделана пепрозрачной (темный диск в центре кадров)

На рис. 1, 2 представлены наиболее характерные результаты эксперимента для очень слабого магнитного поля (меньше 1000 э) и для поля с напряженностью 3000 э. В первом случае развитие процесса идет под влиянием чисто газодинамических факторов. В начальной стадии происходит достаточно быстрое формирование цилиндрической ударной волны с характерным для нее профилем давления и со скоростью движения по покоящемуся газу ~10 км/сек. Измерения и основанные на них оценки позволяют считать, что распределение параметров газа по каналу на некотором расстоянии за ударной волной определяется преимущественно его адиабатическим расширением и что течение газа в некотором интервале времени является квазистационарным. Во втором случае динамика процесса в центральной части канала по существу та же, что и в первом случае; но качественно отличается на больших радиусах. На фотографиях отчетливо видно зарождение светящегося кольца непосредственно в потоке достаточно далеко за ударной волной. Интепсивность свечения и ширина этого кольца быстро возрастают. Датчики давления одновременно фиксируют в этом же месте повышение давления, перерастающее позднее в ударную волну, а измерения плотности электрических токов - появление максимума в распределении электрического тока.

Возникающая зона повышенного давления первоначально соответствует максимуму плотности электрического тока. Однако в момент формирования новой ударной волны вследствие интенсивного торможения газа в зоне максимальных токов происходит четкое пространственное разделение зон максимальных токов и давлений. Оно не только сохраняется в поздней стадии процесса, но и увеличивается за счет движения ударной волны к центру. Вместе с тем зона интенсивно светящегося кольца, как показывают измерения, однозначно связана с максимумом плотности тока. Ширина этой зоны в среднем ~2 см, плотность тока в ней достигает величин 1000-1500 а/см<sup>2</sup> (рис. 2), а электропроводность, вычисленная по измеренным плотности тока, скорости, напряженности электрического и магнитного полей, равна 120-160 мо/см.

Эта величина превосходит в 10-30 раз значение электропроводности в этом месте потока при докритических магнитных полях и соответствует температуре воздуха  $(5-6.5) \cdot 10^4$  °К. Попытка объяснить возникновение зоны столь высокой температуры нагревом газа вновь возникающей ударной волной неосновательна. Во-первых, как было показано выше, само возникновение ударной волны является следствием торможения зоны потока с максимальной плотностью тока в магнитном поле; во-вторых, интенсивность этой волны, оцениваемая по измеренному перепаду давлений, слишком мала, чтобы обеспечить такое повышение температуры, и, в-третьих, в процессе имеет место четкое разделение зон сжатия ударными волнами и зоны максимального свечения. Единственно разумной причиной столь интенсивного локального разогрева газа кажется выделение джоулева теп-

ла (в нашем случае в начальной ста-

дии процесса 1-3 дж/см<sup>3</sup>).

Анализ многочисленных экспериментов позволил не только выявить характерные особенности процесса, но и установить, с одной стороны, условия зарождения токового слоя, с другой, - устойчивость его существования как пространственного образования. В условиях нашего эксперимента характерное время процесса, т. с. время прохождения передним фронтом всей длины канала, составляло 10 исек, время развития Т-слоя с момента его зарождения до достижения максимальной плотности тока равнялось 3-5 исек, время же сущетокового слоя достигало ствования

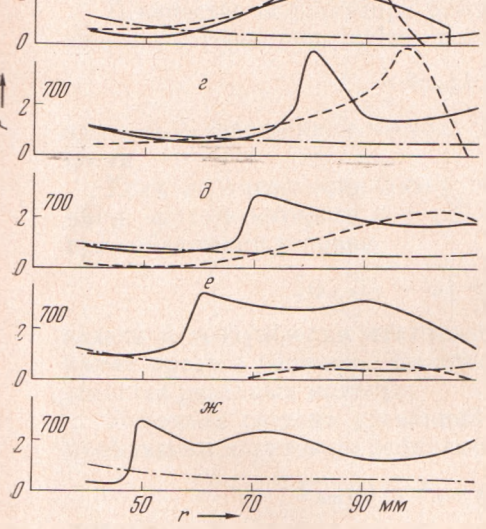


Рис. 2. Распределение параметров потока (1,1')— давление, 2— плотность тока) по каналу в различные моменты времени; a-4,5 µсек; b-4,5 µсе 37  $\mu$ cer. 1, 2 —  $\pi$ p $\pi$  H = 3000  $\theta$ , I' при H = 0

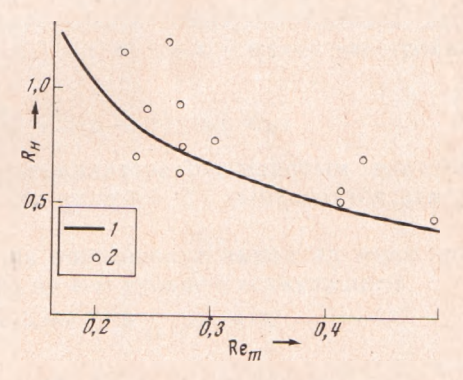


Рис. 3. Условие возникновения токового слоя. 1 — теоретический анализ (2), 2 — обработка эксперимента

20-25 исек, причем распад его происходил, как видно из приведенных иллюстраций, преимущественно вследствие интенсивного высвечивания и уменьшения плотности тока, вызванного резким падением скорости из-за торможения слоя в магнитном поле. В ряде случаев на внешней границе слоя в момент наиболее интенсивного его торможения наблюдались характерные для Рэлей – Тэйлоровской неустойчивости возмущения, величина которых возрастала до 20-30% от ширины слоя. Однако ни разу не был

зафиксирован случай распада слоя вследствие подобной неустойчивости. Наоборот, возмущения, амплитуды которых достигали указанного значепия, быстро затухали (за время 2—5 µсек), и восстанавливалась форма впешней границы.

Па рис. З в переменных  $\mathrm{Re}_m = \frac{4\pi}{c^2} \, _{50} V_0 L_0$  и  $R_H = \frac{H_0^2}{4\pi P_0}$  приведены условия возникновения Т-слоя, полученные на основе обработки эксперимента. В таком виде эти условия впервые были сформулированы в (²). Сущность их состоит в том, что если исследуемый процесс характеризуется в илоскости ( $\mathrm{Re}_m, R_H$ ) точкой, лежащей выше кривой  $\mathrm{Re}_m \cdot R_H = \mathrm{const}$ , то происходит образование Т-слоя, в противном случае это явление не возникает. Эксперимент не только качественно, но и количественно подтверждает выводы (²) относительно условий образования Т-слоя.

Ипститут теоретической и прикладной механики Сибирского отделения Академии наук СССР Новосибирск

Поступило 8 VI 1972

## ПИТИРОВАННАЯ ЛИТЕРАТУРА

<sup>1</sup> А. Н. Тихонов, А. А. Самарский и др., ДАН, 173, № 4 (1967). <sup>2</sup> Л. М. Дегтярев, Л. А. Заклязьминский и др., Теплофиз. высоких температур, № 3 (1969). <sup>3</sup> В. А. Деревянко, Л. А. Заклязьминский и др., Журн. прикл. мех. и техн. физ., № 2 (1968).